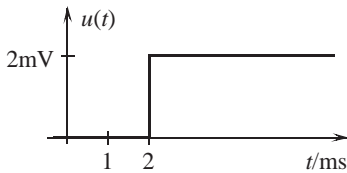


# Lösungen

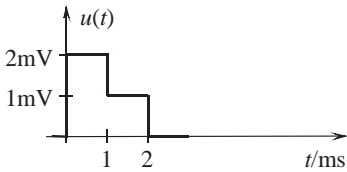
## ■ Lösungen Teil I

### Lösungen zum Kapitel 3

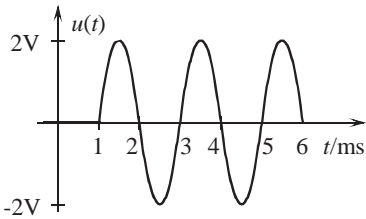
1. a)  $u(t) = 2 \text{ mV} \varepsilon(t - 2 \text{ ms})$



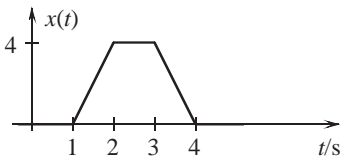
b)  $u(t) = 2 \text{ mV} \varepsilon(t) - 1 \text{ mV} \varepsilon(t - 1 \text{ ms}) - 1 \text{ mV} \varepsilon(t - 2 \text{ ms})$



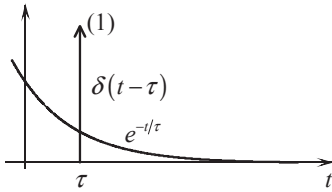
c)  $u(t) = -2 \text{ V} \varepsilon(t - 1 \text{ ms}) \sin\left(\frac{\pi}{1 \text{ ms}} t\right)$



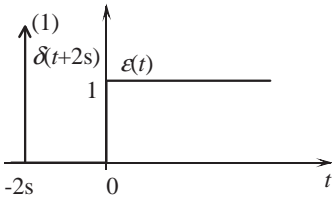
d)  $x(t) = \frac{4}{s} r(t - 1 \text{ s}) - \frac{4}{s} r(t - 2 \text{ s}) - \frac{4}{s} r(t - 3 \text{ s}) + \frac{4}{s} r(t - 4 \text{ s})$



2. a)  $\int_{-\infty}^{\infty} \delta(t - \tau) e^{-t/\tau} dt = e^{-\tau/\tau} = e^{-1}$



b)  $\int_{-\infty}^{\infty} \delta(t + 2s) \varepsilon(t) dt = 0$



3. a)  $x(t) = 2 \frac{V}{\text{ms}} r(t - 2 \text{ ms})$

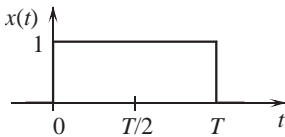
b)  $x(t) = \varepsilon(t) \cdot \cos\left(\frac{2\pi}{4s} t\right)$

c)  $x(t) = r(t + T) - r(t - T) - r(t - 2T) + r(t - 4T)$

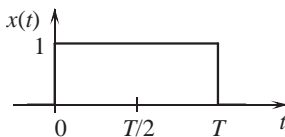
d)  $x(t) = 2\varepsilon(t + 2T) - 3\varepsilon(t + T) + 3\varepsilon(t - T)$

e)  $x(t) = \text{rect}\left(\frac{t - T/2}{3T}\right) + 2\Lambda\left(\frac{t + T/2}{T/2}\right) + 2\Lambda\left(\frac{t - 3T/2}{T/2}\right)$

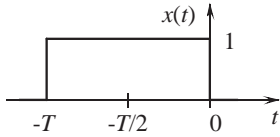
4. a)  $x(t) = \text{rect}\left(\frac{T/2 - t}{T}\right)$



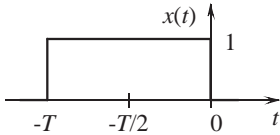
b)  $x(t) = \text{rect}\left(\frac{T/2 - t}{-T}\right)$



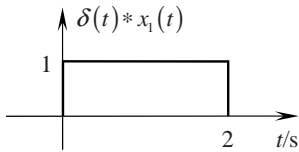
c)  $x(t) = \text{rect}\left(\frac{T/2 + t}{T}\right)$



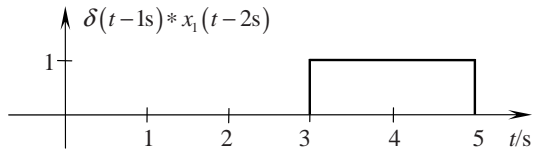
d)  $x(t) = \text{rect}\left(\frac{T/2 + t}{-T}\right)$



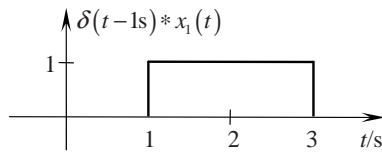
5. a)



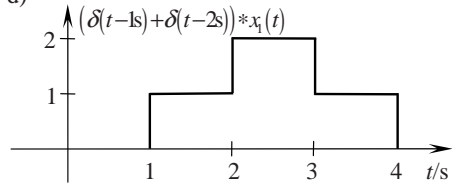
c)



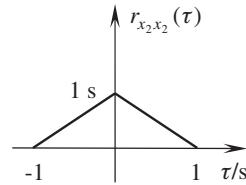
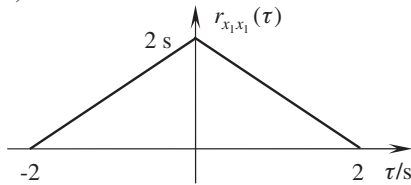
b)



d)



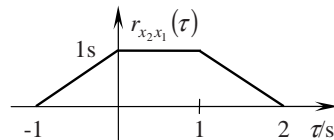
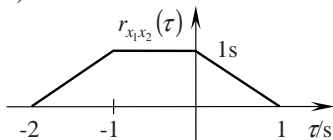
6. a)



$$r_{x_1x_1}(\tau) = 2s \Lambda\left(\frac{\tau}{2s}\right)$$

$$r_{x_2x_2}(\tau) = 1s \Lambda\left(\frac{\tau}{1s}\right)$$

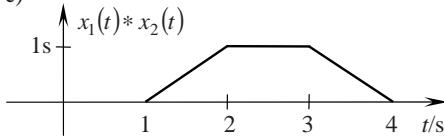
b)



$$r_{x_1x_2}(\tau) = \begin{cases} \tau + 2s & \text{für } -2s \leq \tau \leq -1s \\ 1s & \text{für } -1s \leq \tau \leq 0 \\ -\tau + 1s & \text{für } 0 \leq \tau \leq 1s \end{cases}$$

$$r_{x_2x_1}(\tau) = \begin{cases} \tau + 1s & \text{für } -1s \leq \tau \leq 0 \\ 1s & \text{für } 0 \leq \tau \leq 1s \\ -\tau + 2s & \text{für } 1s \leq \tau \leq 2s \end{cases}$$

c)

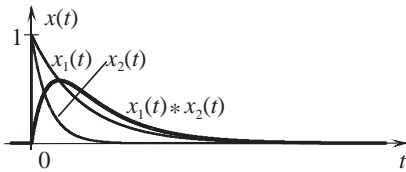


$$x_1(t) * x_2(t) = \begin{cases} t - 1 \text{ s} & \text{für } 1 \text{ s} \leq t \leq 2 \text{ s} \\ 1 \text{ s} & \text{für } 2 \text{ s} \leq t \leq 3 \text{ s} \\ -t + 4 \text{ s} & \text{für } 3 \text{ s} \leq t \leq 4 \text{ s} \end{cases}$$

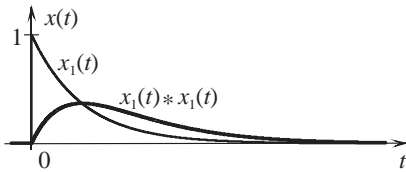
$$\text{d) } x_1(t) * x_2(-t) = \begin{cases} t + 2 \text{ s} & \text{für } -2 \text{ s} \leq t \leq -1 \text{ s} \\ 1 \text{ s} & \text{für } -1 \text{ s} \leq t \leq 0 \\ -t + 1 \text{ s} & \text{für } 0 \leq t \leq 1 \text{ s} \end{cases}$$

Korrelation  $r_{x_1 x_2}(\tau)$  und Faltung  $x_1(t) * x_2(-t)$  sind identisch

7. a)  $(\varepsilon(t) e^{-t/T_1}) * (\varepsilon(t) e^{-t/T_2}) = \varepsilon(t) \frac{T_1 T_2}{T_1 - T_2} (e^{-t/T_1} - e^{-t/T_2}); \quad T_1 \neq T_2$

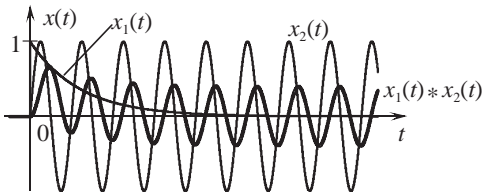


b)  $(\varepsilon(t) \cdot e^{-t/T_1}) * (\varepsilon(t) \cdot e^{-t/T_1}) = t \cdot \varepsilon(t) e^{-t/T_1}$

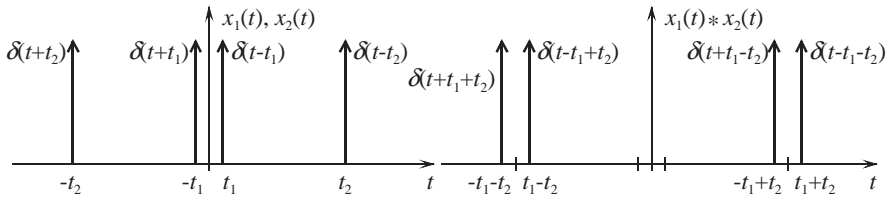


c)  $(\varepsilon(t) \cdot e^{-t/T_1}) * (\varepsilon(t) \cdot \sin(2\pi f_0 t))$

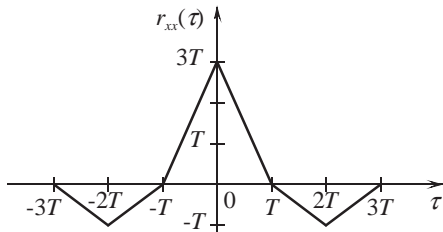
$$= \varepsilon(t) \frac{T_1^2}{1 + (2\pi f_0 T_1)^2} \left( \frac{1}{T_1} \sin(2\pi f_0 t) - 2\pi f_0 \cos(2\pi f_0 t) + 2\pi f_0 e^{-t/T_1} \right)$$



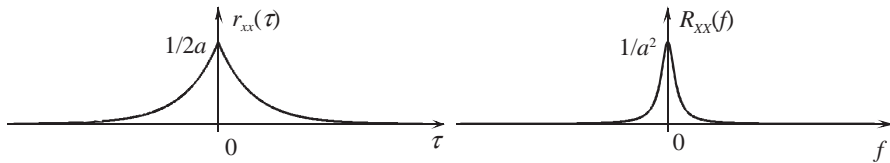
d)  $x_1(t) * x_2(t) = (\delta(t + t_1) + \delta(t - t_1)) * (\delta(t + t_2) + \delta(t - t_2))$   
 $= \delta(t + t_1 + t_2) + \delta(t + t_1 - t_2) + \delta(t - t_1 + t_2) + \delta(t - t_1 - t_2); \quad t_1 \ll t_2$



8.  $R_{XX}(f) = T^2 \text{si}^2(\pi f T) (3 - e^{j2\pi f 2T} - e^{-j2\pi f 2T})$   
 $r_{xx}(\tau) = T \left( 3\Lambda\left(\frac{\tau}{T}\right) - \Lambda\left(\frac{\tau + 2T}{T}\right) - \Lambda\left(\frac{\tau - 2T}{T}\right) \right)$



9.  $r_{xx}(\tau) = \frac{1}{2a} e^{-a|\tau|}$   $R_{XX}(f) = \frac{1}{a^2 + (2\pi f)^2}$



10. a) Energiesignal, da Beginn bei  $t = 0$  und betragsmäßig exponentiell abfallend

b)  $W = \frac{T}{1 + 64\pi^2} + T$

c)  $W = \frac{2T}{3}$

d)  $\bar{P} = 0$

11. Energiesignal

$$W = \int_0^{4T} \cos^2\left(\frac{2\pi t}{T}\right) dt = \frac{1}{2} \int_0^{4T} \left(1 + \cos\left(\frac{4\pi t}{T}\right)\right) dt = \frac{t}{2} \Big|_0^{4T} = \underline{\underline{2T}}$$

$\bar{P} = 0$

## Lösungen zum Kapitel 4

12. Stellen Sie folgende Signale grafisch dar und geben Sie jeweils  $\{x(kT_A)\}$  als Folge und die Bildungsvorschrift der Folge an.

$$\text{a) } \{x(kT_A)\} = \begin{cases} 1+k & \text{für } k \geq 0 \\ 0 & \text{für } k < 0 \end{cases} = \{ \underline{1}; 2; 3; 4; \dots \}$$

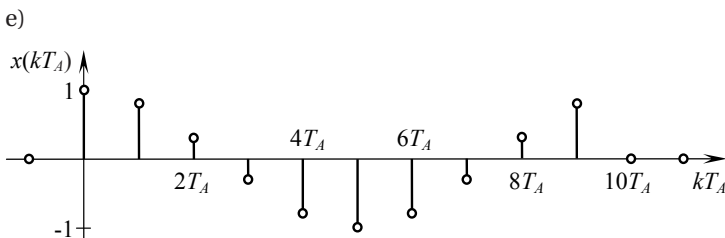
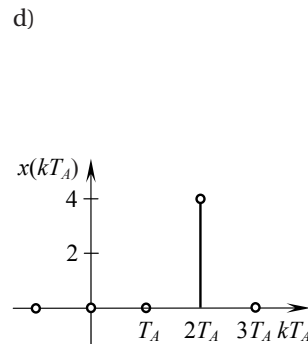
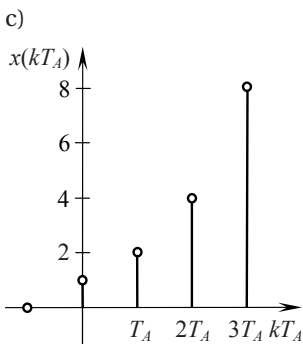
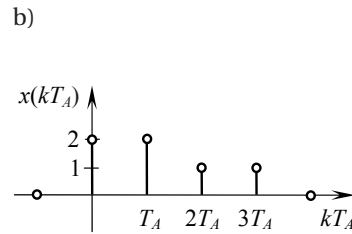
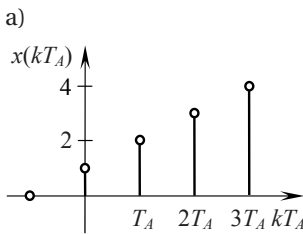
$$\text{b) } \{x(kT_A)\} = \begin{cases} 2 & \text{für } k: 0, 1 \\ 1 & \text{für } k: 2, 3 \\ 0 & \text{sonst} \end{cases} = \{ \underline{2}; 2; 1; 1 \}$$

$$\text{c) } \{x(kT_A)\} = \begin{cases} 2^k & \text{für } k \geq 0 \\ 0 & \text{für } k < 0 \end{cases} = \{ \underline{1}; 2; 4; 8; \dots \}$$

$$\text{d) } \{x(kT_A)\} = \begin{cases} 4 & \text{für } k = 2 \\ 0 & \text{für } k \neq 2 \end{cases} = \{ \underline{0}; 0; 2; \dots \}$$

$$\text{e) } \{x(kT_A)\} = \begin{cases} \cos(\pi k/5) & \text{für } 0 \leq k \leq 9 \\ 0 & \text{sonst} \end{cases}$$

$$\{x(kT_A)\} = \{ \underline{1}; 0,8; 0,3; -0,3; -0,8; -1; -0,8; -0,3; 0,3; 0,8 \}$$

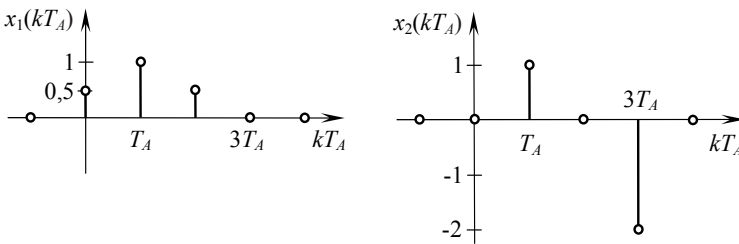


13. a)  $6 + 3 - 1 = 8$  Abtastungen

b)  $\{x_1(kT_A) * x_2(kT_A)\} = \{-3; 9; -11; 9; -7; 5; -3; 1\}$

c)  $\{\varepsilon(kT_A)\} * \{x_2(kT_A)\} = \{-1; 1\}$

14. a)



b)  $\{r_{x_1, x_1}(kT_A)\} = \{0, 25; 1; 1, 5; 1; 0, 25\}$

$$\{r_{x_2, x_2}(kT_A)\} = \{-2; 0; 5; 0; -2\}$$

c)  $\{r_{x_1, x_2}(kT_A)\} = \{-1; -2; -0, 5; 1; 0, 5\}$

$$\{r_{x_2, x_1}(kT_A)\} = \{0, 5; 1; -0, 5; -2; -1\}$$

d)  $\{x_1(kT_A) * x_2(kT_A)\} = \{0; 0, 5; 1; -0, 5; -2; -1\}$

e)  $\{x_1(kT_A)\}_P * \{x_2(kT_A)\}_P = \{\dots -2; -2; -2; -2; \dots\}$

f)  $\{x_1(kT_A)\}_P * \{x_2(kT_A)\}_P = \{-2; -0, 5; 1; -0, 5\}_P$

g)  $\{x_1(kT_A) * x_2(-kT_A)\} = \{-1; -2; -0, 5; 1; 0, 5\}$

### Lösungen zum Kapitel 5

15. a)  $\omega_P = \frac{\pi}{\text{ms}} = \pi \cdot 10^3 \text{ s}^{-1}$

$$x_1(t) = \frac{1}{\pi} + \frac{1}{2} \sin(\omega_P t) - \frac{2}{\pi} \left[ \frac{1}{1 \cdot 3} \cos(2\omega_P t) + \frac{1}{3 \cdot 5} \cos(4\omega_P t) + \dots \right]$$

$$x_1(t) = \frac{1}{\pi} + \frac{1}{2 \cdot 2j} e^{j\omega_P t} - \frac{1}{3\pi} e^{j2\omega_P t} - \frac{1}{15\pi} e^{j4\omega_P t} + \dots$$

$$- \frac{1}{2 \cdot 2j} e^{-j\omega_P t} - \frac{1}{3\pi} e^{-j2\omega_P t} - \frac{1}{15\pi} e^{-j4\omega_P t} + \dots$$

$$x_2(t) = x_1(t + 0,25 \text{ ms})$$

$$x_2(t) = \frac{1}{\pi} + \frac{1}{2} \sin\left(\omega_P t + \frac{\pi}{4}\right) - \frac{2}{\pi} \left( \frac{1}{3} \cos\left(2\omega_P t + \frac{\pi}{2}\right) + \frac{1}{15} \cos(4\omega_P t + \pi) + \dots \right)$$

$$x_2(t) = \frac{1}{\pi} + \frac{1}{2 \cdot 2j} e^{j(\omega_P t + \pi/4)} - \frac{1}{3\pi} e^{j(2\omega_P t + \pi/2)} - \frac{1}{15\pi} e^{j(4\omega_P t + \pi)} - \dots$$

$$- \frac{1}{2 \cdot 2j} e^{-j(\omega_P t + \pi/4)} - \frac{1}{3\pi} e^{-j(2\omega_P t + \pi/2)} - \frac{1}{15\pi} e^{-j(4\omega_P t + \pi)} - \dots$$

b)  $x_1(t) = \frac{1}{\pi} + \frac{1}{2} \cos\left(\omega_P t - \frac{\pi}{2}\right) + \frac{2}{\pi} \left( \frac{1}{3} \cos(2\omega_P t + \pi) + \frac{1}{15} \cos(4\omega_P t + \pi) + \dots \right)$

$$x_1(t) = \frac{1}{\pi} + \frac{1}{4} e^{-j\pi/2} e^{j\omega_P t} + \frac{1}{3\pi} e^{-j\pi} e^{j2\omega_P t} + \frac{1}{15\pi} e^{-j\pi} e^{j4\omega_P t} + \dots$$

$$+ \frac{1}{4} e^{j\pi/2} e^{-j\omega_P t} + \frac{1}{3\pi} e^{j\pi} e^{-j2\omega_P t} + \frac{1}{15\pi} e^{j\pi} e^{-j4\omega_P t} + \dots$$

$$x_2(t) = \frac{1}{\pi} + \frac{1}{2} \cos\left(\omega_p t - \frac{\pi}{4}\right) + \frac{2}{\pi} \left( \frac{1}{3} \cos\left(2\omega_p t - \frac{\pi}{2}\right) + \frac{1}{15} \cos(4\omega_p t) + \dots \right)$$

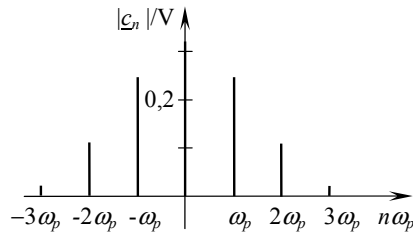
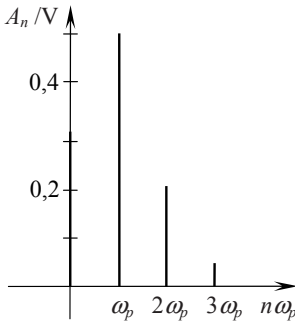
$$x_2(t) = \frac{1}{\pi} + \frac{1}{4} e^{-j\pi/4} e^{j\omega_p t} + \frac{1}{3\pi} e^{-j\pi/2} e^{j2\omega_p t} + \frac{1}{15\pi} e^{j0} e^{j4\omega_p t} + \dots$$

$$+ \frac{1}{4} e^{j\pi/4} e^{-j\omega_p t} + \frac{1}{3\pi} e^{j\pi/2} e^{-j2\omega_p t} + \frac{1}{15\pi} e^{j0} e^{-j4\omega_p t} + \dots$$

Amplitudenspektren der Signale  $x_1(t)$  und  $x_2(t)$

aus reeller Form der FR

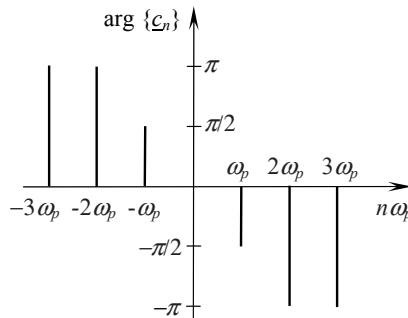
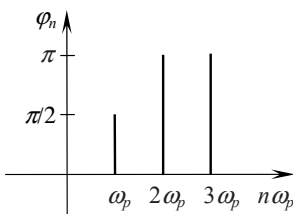
aus komplexer Form der FR



Phasenspektren des Signals  $x_1(t)$

aus reeller Form der FR

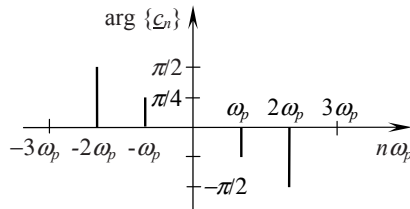
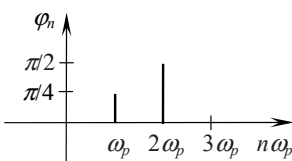
aus komplexer Form der FR



Phasenspektren des Signals  $x_2(t)$

aus reeller Form der FR

aus komplexer Form der FR





16. a)  $\underline{X}_1(f) = F\{x_1(t)\} = \int_{-0,5s}^{0,5s} 1 \cdot e^{-j2\pi ft} dt = 1s \cdot \text{si}(\pi f T); \quad T = 1s$

$$|\underline{X}_1(f)| = |1s \cdot \text{si}(\pi f T)|$$

$$\arg\{\underline{X}_1(f)\} = \begin{cases} 0 & \text{für } \text{si}(\pi f T) \geq 0 \\ \pm\pi & \text{für } \text{si}(\pi f T) < 0 \end{cases}$$

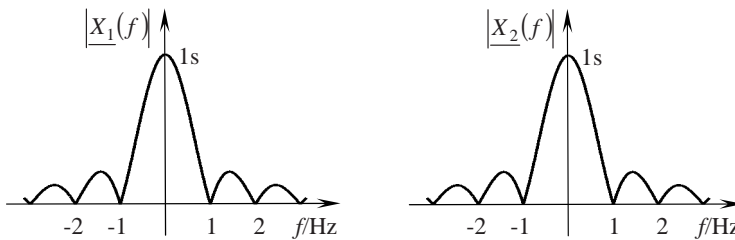
$$\underline{X}_2(f) = F\{x_2(t)\} = \int_{1s}^{2s} 1 \cdot e^{-j2\pi ft} dt = 1s \cdot \text{si}(\pi f \cdot s) e^{-j\pi f \cdot 3s}$$

$$|\underline{X}_2(f)| = |1s \cdot \text{si}(\pi f T)|$$

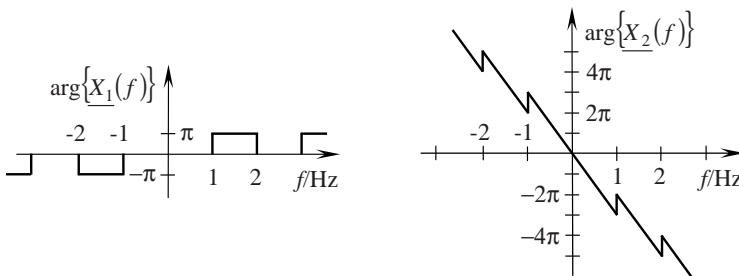
$$\arg\{\underline{X}_2(f)\} = \begin{cases} -\pi f \cdot 3s & \text{für } \text{si}(\pi f T) \geq 0 \\ -\pi f \cdot 3s \pm \pi & \text{für } \text{si}(\pi f T) < 0 \end{cases}$$

b) Amplituden- und Phasenspektren

c) Symmetrieeigenschaften



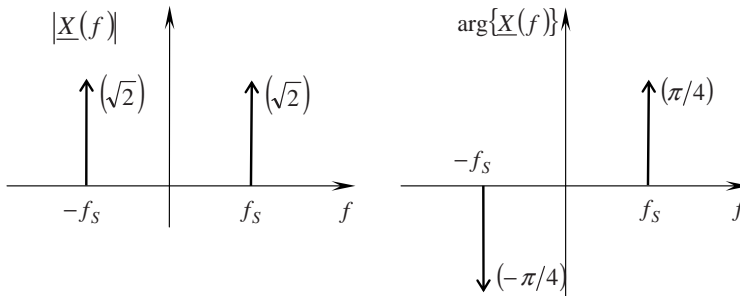
symmetrisch gerade



symmetrisch ungerade

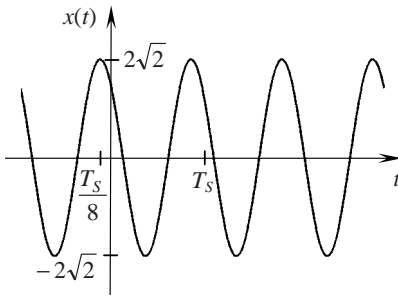
17. a)  $\underline{X}(f) = \delta(f + f_s) + \delta(f - f_s) + j(-\delta(f + f_s) + \delta(f - f_s))$

b)  $\underline{X}(f) = \sqrt{2} e^{-j\pi/4} \delta(f + f_s) + \sqrt{2} e^{j\pi/4} \delta(f - f_s)$



c)  $x(t) = 2 \cos(2\pi f_s t) - 2 \sin(2\pi f_s t)$

$x(t) = 2\sqrt{2} \cos(2\pi f_s t + \pi/4) = 2\sqrt{2} \cos(2\pi f_s (t + T_s/8))$



18. a) Moduliertes Signal

$$u_{\text{AM}}(t) = \hat{U}_{\text{NF}} \cos(2\pi \cdot 2 \text{ kHz} \cdot t) \hat{U}_{\text{T}} \cos(2\pi \cdot 1 \text{ MHz} \cdot t) \frac{1}{\hat{U}_{\text{T}}}$$

$$u_{\text{AM}}(t) = \frac{\hat{U}_{\text{NF}}}{2} (\cos(2\pi \cdot 1,002 \text{ MHz} \cdot t) + \cos(2\pi \cdot 0,998 \text{ MHz} \cdot t))$$

b) Fourier-transformierte Signale

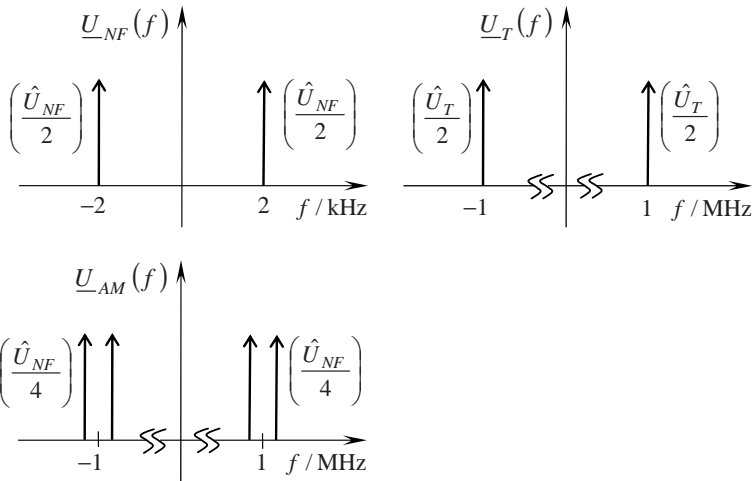
$$\underline{U}_{\text{NF}}(f) = \frac{\hat{U}_{\text{NF}}}{2} \delta(f + 2 \text{ kHz}) + \frac{\hat{U}_{\text{NF}}}{2} \delta(f - 2 \text{ kHz})$$

$$\underline{U}_{\text{T}}(f) = \frac{\hat{U}_{\text{T}}}{2} \delta(f + 1 \text{ MHz}) + \frac{\hat{U}_{\text{T}}}{2} \delta(f - 1 \text{ MHz})$$

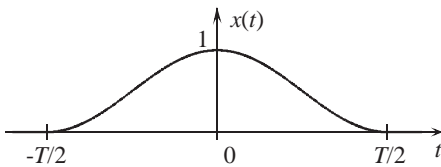
$$\underline{U}_{\text{AM}}(f) = \frac{\hat{U}_{\text{NF}}}{4} \delta(f + 1,002 \text{ MHz}) + \frac{\hat{U}_{\text{NF}}}{4} \delta(f - 1,002 \text{ MHz})$$

$$+ \frac{\hat{U}_{\text{NF}}}{4} \delta(f + 0,998 \text{ MHz}) + \frac{\hat{U}_{\text{NF}}}{4} \delta(f - 0,998 \text{ MHz})$$

c) Spektren der drei Signale

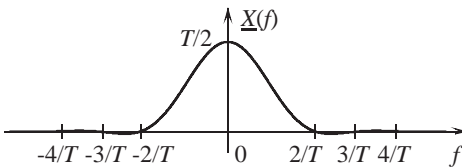


19. a)

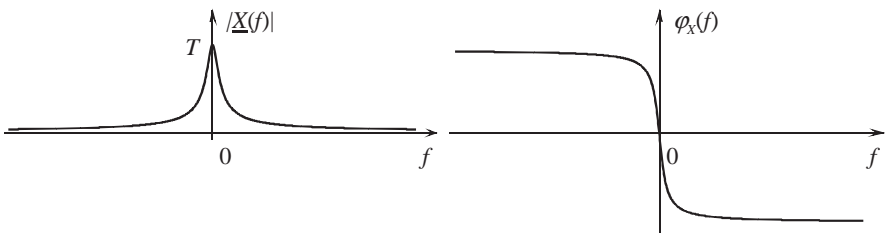


$$b) x(t) = \frac{1}{2} \text{rect}\left(\frac{t}{T}\right) + \frac{1}{4} \text{rect}\left(\frac{t}{T}\right) e^{j2\pi t/T} + \frac{1}{4} \text{rect}\left(\frac{t}{T}\right) e^{-j2\pi t/T}$$

$$\circ \bullet \underline{X}(f) = \frac{T}{2} \frac{\text{si}(\pi f T)}{1 - (fT)^2}$$



20. a)  $\underline{X}(f) = \frac{T}{1 + j2\pi f T}$ ,  $|\underline{X}(f)| = \frac{T}{\sqrt{1 + (2\pi f T)^2}}$ ,  $\varphi_x(f) = -\arctan(2\pi f T)$



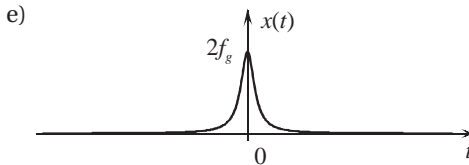
b)  $\underline{X}(f) = \frac{1}{2} \delta(f) + \frac{1}{j2\pi f}$

21. a) Reelles und symmetrisch gerades Zeitsignal

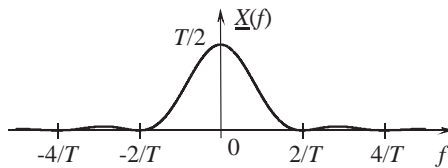
$$b) x(t) = \frac{2f_g}{1 + (2\pi f_g t)^2}$$

$$c) \left( \frac{1}{2} \delta(f) + \frac{1}{j2\pi f} \right) \underline{X}(f) = \frac{1}{2} \delta(f) + \frac{1}{j2\pi f} e^{-|f/f_g|}$$

$$d) \underline{X}(f) = 1 \Leftrightarrow x(t) = \delta(t)$$



22.  $\underline{X}(f) = T \cdot \text{si}^2(\pi f T)$



23.  $-4T \leq \tau < 0: r_{xx}^E(\tau) = \frac{T}{4\pi} \sin\left(2\pi \frac{4T + \tau}{T}\right) + \frac{4T + \tau}{2} \cos\left(2\pi \frac{\tau}{T}\right)$

$0 \leq \tau \leq 4T: r_{xx}^E(\tau) = \frac{T}{4\pi} \sin\left(2\pi \frac{4T - \tau}{T}\right) + \frac{4T - \tau}{2} \cos\left(2\pi \frac{\tau}{T}\right)$

$$r_{xx}(\tau) = \frac{T}{4\pi} \sin\left(2\pi \frac{4T - |\tau|}{T}\right) + \frac{T}{2} \Lambda\left(\frac{\tau}{4T}\right) \cos\left(2\pi \frac{\tau}{T}\right)$$

$$R_{XX} = 4T^2 \cdot \text{si}^2\left(\pi \left(f + \frac{1}{T}\right) 4T\right) + 4T^2 \cdot \text{si}^2\left(\pi \left(f - \frac{1}{T}\right) 4T\right) - \frac{T^2}{2\pi^2} \frac{\sin^2(\pi f 4T)}{1 - (fT)^2}$$

### Lösungen zum Kapitel 6

24. a)  $f_A \geq 28 \text{ MHz}$

b) Beim theoretischen Minimum würde als Rekonstruktionsfilter ein idealer Tiefpass benötigt, der nicht realisierbar ist.

25.  $f_A \geq 6,8 \text{ kHz}$

26. a)  $\frac{2 \cdot 1,05 \text{ MHz}}{m} \leq \frac{2 \cdot 0,75 \text{ MHz}}{m-1} \Rightarrow (m-1) \cdot 1,05 \text{ MHz} \leq m \cdot 0,75 \text{ MHz}$

$$m \cdot 1,05 \text{ MHz} - 1,05 \text{ MHz} \leq m \cdot 0,75 \text{ MHz} \Rightarrow m \leq \frac{1,05 \text{ MHz}}{0,3 \text{ MHz}} = 3$$

b)  $\frac{2 \cdot 1,05 \text{ MHz}}{m} \leq f_A \leq \frac{2 \cdot 0,75 \text{ MHz}}{m-1}$

$m = 1: 2 \cdot 1,05 \text{ MHz} = 2,1 \text{ MHz} \leq f_A \leq \infty$

$m = 2: \frac{2 \cdot 1,05 \text{ MHz}}{2} = 1,05 \text{ MHz} \leq f_A \leq \frac{2 \cdot 0,75 \text{ MHz}}{1} = 1,5 \text{ MHz}$

$m = 3: \frac{2 \cdot 1,05 \text{ MHz}}{3} = 0,70 \text{ MHz} \leq f_A \leq \frac{2 \cdot 0,75 \text{ MHz}}{2} = 0,75 \text{ MHz}$

c)  $f_A = \frac{4}{2m-1} \frac{f_{gu} + f_{go}}{2} = \frac{4}{2m-1} \cdot 0,9 \text{ MHz}$

$m = 1: f_A = \frac{4}{1} \cdot 0,9 \text{ MHz} = 3,6 \text{ MHz}$

$m = 2: f_A = \frac{4}{3} \cdot 0,9 \text{ MHz} = 1,2 \text{ MHz}$

$m = 3: f_A = \frac{4}{5} \cdot 0,9 \text{ MHz} = 0,72 \text{ MHz}$

27. a) Spektren

$$X_1(e^{j2\pi f/f_A}) = 2 \sin(2\pi f/f_A) e^{-j(4\pi f/f_A - \pi/2)}$$

$$|X_1(e^{j2\pi f/f_A})| = |2 \sin(2\pi f/f_A)|$$

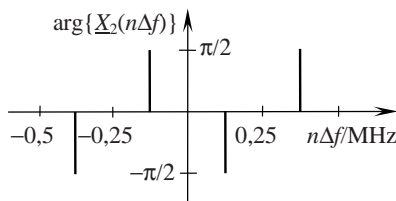
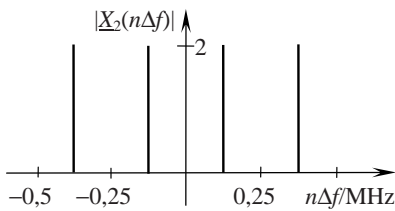
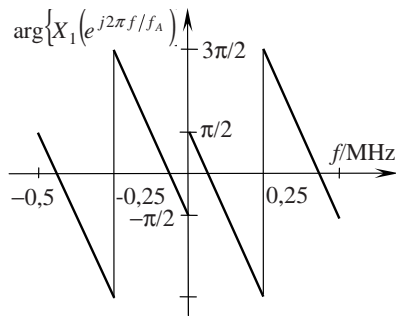
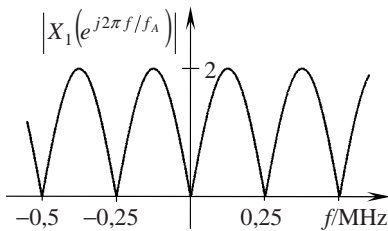
$$\arg\{X_1(e^{j2\pi f/f_A})\} = \begin{cases} -4\pi f/f_A + \pi/2 & \text{für } \sin(2\pi f/f_A) \geq 0 \\ -4\pi f/f_A + \pi/2 \pm \pi & \text{für } \sin(2\pi f/f_A) < 0 \end{cases}$$

$$\{\underline{X}_2(n\Delta f)\} = \{0; -2j; 0; 2j\}_p$$

$$\{|\underline{X}_2(n\Delta f)|\} = \{0; 2; 0; 2\}_p$$

$$\arg\{\underline{X}_2(n\Delta f)\} = \{0; -\pi/2; 0; \pi/2\}_p$$

b) Amplituden- und Phasenspektren



c)  $X_1 \left( e^{j2\pi n f_A/4/f_A} \right) = X_1 \left( e^{j\pi n/2} \right) = 2 \sin \left( \pi n/2 \right) e^{-j \left( \pi n - \pi/2 \right)}$

$\left\{ X_1 \left( e^{j\pi n/2} \right) \right\} = \{0; -2j; 0; 2j\} = \{X_2(n\Delta f)\}$

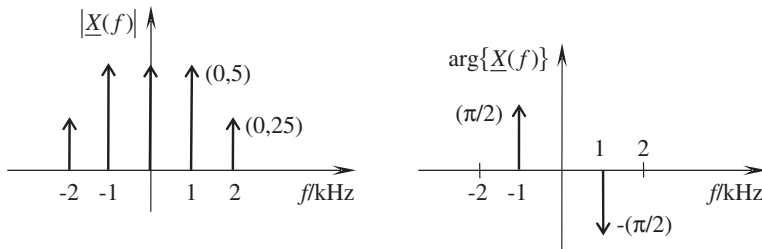
28.  $\{X_1(n\Delta f_1)\} = \{2; -0,25 - j0,433; -0,25 - j0,433\}_P; \quad \Delta f_1 = f_A/3$

$\{X_2(n\Delta f_2)\} = \{-1; -j3; 1; j3\}_P; \quad \Delta f_2 = f_A/4$

$\{X_1(n\Delta f_1)\} \cdot \{X_2(n\Delta f_2)\} = \{X(nf_A)\} = \{-2\}_P$

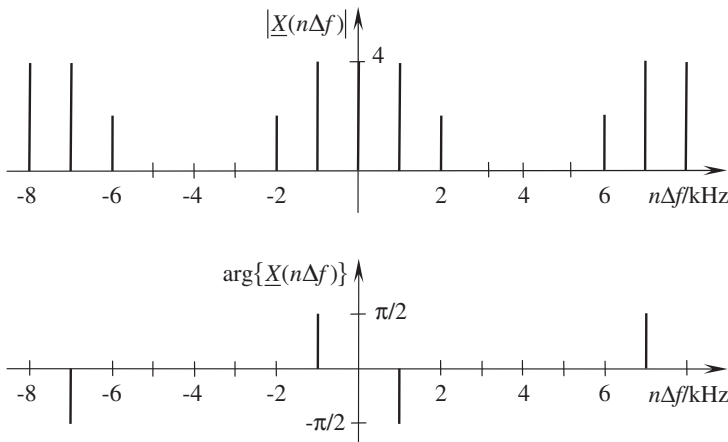
Für  $f \neq n f_A$  ist das Produkt nicht definiert.

29. a)  $\underline{X}(f) = \frac{1}{2} \left( \delta(f) + j \left( \delta(f + 1 \text{ kHz}) - \delta(f - 1 \text{ kHz}) \right) \right) + \frac{1}{2} \left( \delta(f + 2 \text{ kHz}) + \delta(f - 2 \text{ kHz}) \right)$



b) 8 Abtastwerte

c)  $\Delta f = 1 \text{ kHz}, \quad f_{A \min} = 4 \text{ kHz}$



## ■ Lösungen Teil II

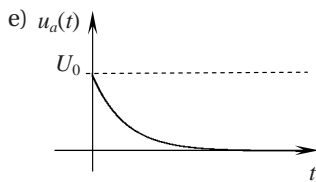
### Lösungen zu den Kapiteln 9 bis 13

1. a)  $\dot{u}_a(t)RC + u_a(t) = \dot{u}_e(t)RC$

b)  $u_a(t) = U_0 e^{-t/RC} \cdot \varepsilon(t)$

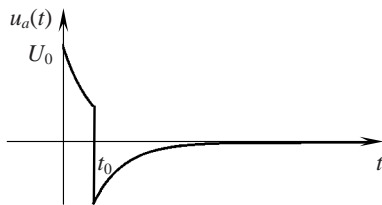
c)  $G(p) = \frac{RCp}{1 + RCp}$

d)  $u_a(t) = U_0 e^{-t/RC} \cdot \varepsilon(t)$



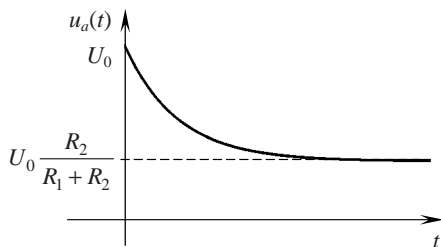
2.  $G(p) = \frac{RCp}{1 + RCp} = \frac{RCp + 1}{1 + RCp} - \frac{1}{1 + RCp} \Leftrightarrow g(t) = \delta(t) - \frac{1}{RC} e^{-t/RC} \cdot \varepsilon(t)$

$$u_a(t) = \begin{cases} U_0 e^{-t/RC} & \text{für } 0 \leq t < t_0 \\ U_0 e^{-t/RC} (1 - e^{t_0/RC}) & \text{für } t > t_0 \end{cases}$$



3. a)  $G(p) = \frac{R_1 R_2 C p + R_2}{R_1 R_2 C p + R_1 + R_2}$

b)  $u_a(t) = U_0 \left( \frac{R_2}{R_1 + R_2} + \frac{R_1}{R_1 + R_2} e^{-\frac{R_1 + R_2}{CR_1 R_2} t} \right) \cdot \varepsilon(t)$



c)  $p_{01} = -\frac{1}{R_1 C}, \quad p_{\infty 1} = -\frac{R_1 + R_2}{R_1 R_2 C}, \quad \text{System ist stabil}$

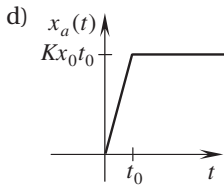
4. a)  $G(p) = \frac{K}{p}$

b)  $x_{e1}(t) = x_0 \varepsilon(t) \circ \bullet X_{e1}(p) = \frac{x_0}{p}$

$x_{e2}(t) = -x_0 \varepsilon(t - t_0) \circ \bullet X_{e2}(p) = -\frac{x_0}{p} e^{-pt_0}$

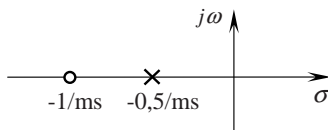
c)  $x_{a1}(t) = K x_0 r(t), \quad x_{a2}(t) = -K x_0 r(t - t_0)$

$$x_{a1}(t) = \begin{cases} K x_0 r(t) & \text{für } 0 \leq t \leq t_0 \\ K x_0 t_0 & \text{für } t \geq t_0 \end{cases}$$

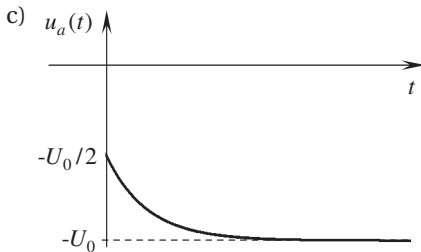


5. a)  $G(p) = -\frac{R_2}{R_1} \cdot \frac{R_1 C_1 p + 1}{R_2 C_2 p + 1}$

System ist stabil



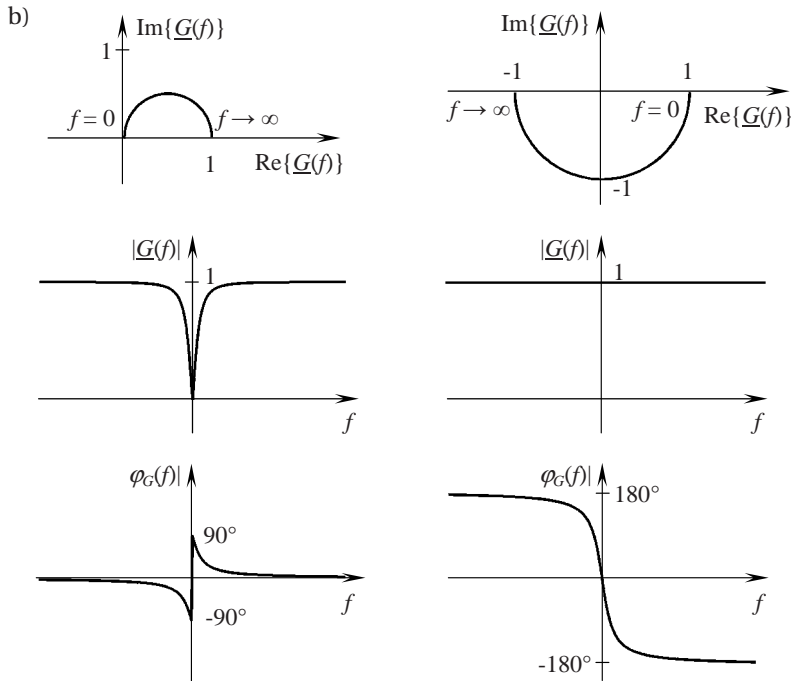
b)  $u_a(t) = -U_0 \left(1 - \frac{1}{2} e^{-t/R_2 C_2}\right) \cdot \varepsilon(t) = -U_0 \left(1 - \frac{1}{2} e^{-t/2\text{ms}}\right) \cdot \varepsilon(t)$



6. a)  $\underline{G}(f) = \frac{j2\pi f T}{1 + j2\pi f T} = \sqrt{\frac{(2\pi f T)^2}{1 + (2\pi f T)^2}} \cdot e^{j(90^\circ \cdot \text{sgn}(f) - \arctan(2\pi f T))}$

$$\underline{G}(f) = \frac{1 - j2\pi f T}{1 + j2\pi f T} = \frac{\sqrt{1 + (2\pi f T)^2} \cdot e^{-j \arctan(2\pi f T)}}{\sqrt{1 + (2\pi f T)^2} \cdot e^{j \arctan(2\pi f T)}} = 1 \cdot e^{-2j \arctan(2\pi f T)}$$





c) Amplitudengänge sind symmetrisch gerade Funktionen.  
 Phasengänge sind symmetrisch ungerade Funktionen.

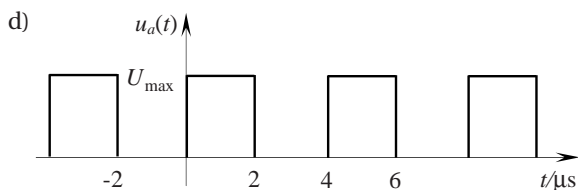
7. a)  $\underline{G}(f) = e^{-j2\pi f \cdot 1 \mu\text{s}}$

b) 
$$u_e(t) = \frac{U_{\text{max}}}{2} \left( 1 + 0,637 e^{j2\pi f_p t} - 0,212 e^{j3 \cdot 2\pi f_p t} + \dots \right. \\ \left. \dots + 0,637 e^{-j2\pi f_p t} - 0,212 e^{-j3 \cdot 2\pi f_p t} + \dots \right)$$

mit  $f_p = 0,25 \text{ MHz}$

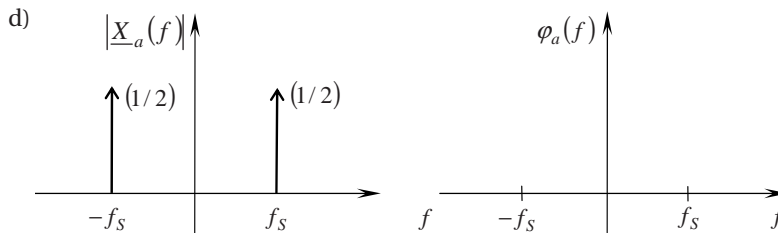
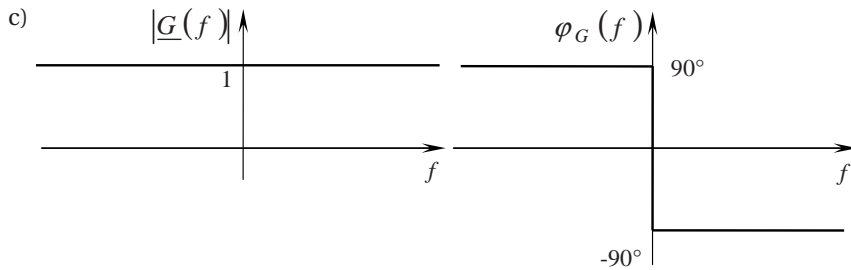
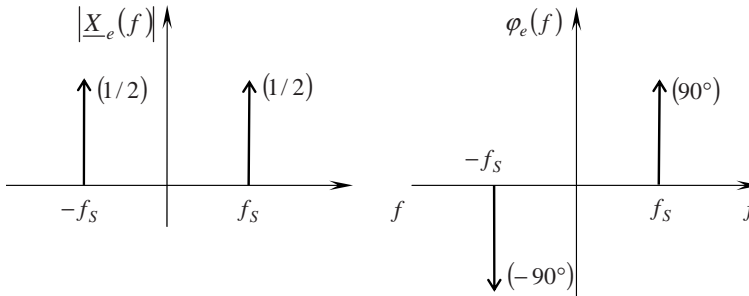
c) 
$$u_a(t) = \frac{U_{\text{max}}}{2} \left( 1 + 0,637 e^{j2\pi f_p (t-1 \mu\text{s})} - 0,212 e^{j3 \cdot 2\pi f_p (t-1 \mu\text{s})} + \dots \right. \\ \left. \dots + 0,637 e^{-j2\pi f_p (t-1 \mu\text{s})} - 0,212 e^{-j3 \cdot 2\pi f_p (t-1 \mu\text{s})} + \dots \right)$$

mit  $f_p = 0,25 \text{ MHz}$



8. a)  $T_S = 2 \text{ ms}$ ,  $f_S = 0,5 \text{ kHz}$ ,  $\omega_S = \pi \cdot 10^3 \text{ s}^{-1}$ ,  $x_e(t) = -\sin(2\pi f_S t)$

b)  $x_e(t) = -\sin(2\pi f_S t) \circ \rightarrow \underline{X}_e(f) = -\frac{1}{2} j (\delta(f + f_S) - \delta(f - f_S))$



e)  $x_a(t) = \cos(2\pi f_S t)$

9. a) Ordnung 2, da 2 unabhängige Energiespeicher ( $L, C$ )

b)  $G(p) = \frac{1 + p(L/R + RC) + p^2 LC}{2 + p(L/R + RC) + p^2 LC}$

Polstellen:

Für  $R = 30 \Omega$ ,  $L = 1 \text{ mH}$ ,  $C = 1 \mu\text{F}$  treten komplexe Pole mit negativem Realteil auf.

$$p_{\infty 1,2} = -\frac{1}{2} \left( \frac{R}{L} + \frac{1}{RC} \right) \pm j \sqrt{\frac{2}{LC} - \frac{1}{4} \left( \frac{R}{L} + \frac{1}{RC} \right)^2} = (-31\,667 \pm j31\,579) \text{ s}^{-1}$$

Nullstellen:

Für  $R = 30 \Omega$ ,  $L = 1 \text{ mH}$ ,  $C = 1 \mu\text{F}$  treten zwei einfache reelle Nullstellen auf.

$$p_{01,2} = -\frac{1}{2} \left( \frac{R}{L} + \frac{1}{RC} \right) \pm \sqrt{\frac{1}{4} \left( \frac{R}{L} + \frac{1}{RC} \right)^2 - \frac{1}{LC}}, \quad p_{01} = -30\,000 \text{ s}^{-1},$$

$$p_{02} = -33\,333 \text{ s}^{-1}$$

c) Das System ist stabil. Alle Polstellen des Systems haben einen negativen Realteil.

$$d) U_a(p) = 1 \text{ V} \frac{(p - p_{01})(p - p_{02})}{p(p - p_{\infty 1})(p - p_{\infty 2})}$$

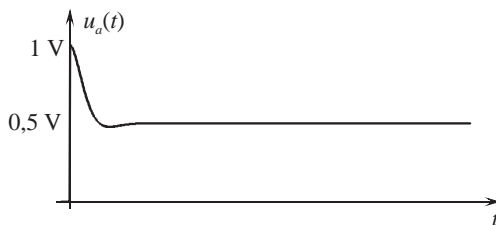
$$e) U_a(p) = \frac{K_1}{p} + \frac{K_2}{p - p_{\infty 1}} + \frac{K_3}{p - p_{\infty 2}}$$

$$K_1 = 1 \text{ V} \frac{p_{01} p_{02}}{p_{\infty 1} p_{\infty 2}} = 0,5 \text{ V}, \quad K_2 = 1 \text{ V} \frac{(p_{\infty 1} - p_{01})(p_{\infty 1} - p_{02})}{p_{\infty 1}(p_{\infty 1} - p_{\infty 2})} = (0,25 + j0,25) \text{ V},$$

$$K_3 = 1 \text{ V} \frac{(p_{\infty 2} - p_{01})(p_{\infty 2} - p_{02})}{p_{\infty 2}(p_{\infty 2} - p_{\infty 1})} = (0,25 - j0,25) \text{ V} = K_2^*$$

$$u_a(t) = \varepsilon(t) \left( K_1 + 2|K_2| e^{\text{Re}\{p_{\infty 1}\}t} \cos(\text{Im}\{p_{\infty 1}\}t + \varphi_{K_2}) \right)$$

$$\text{mit } \varphi_{p_{\infty 1}} = \arctan \left( \frac{\text{Im}\{K_2\}}{\text{Re}\{K_2\}} \right) = 45^\circ$$



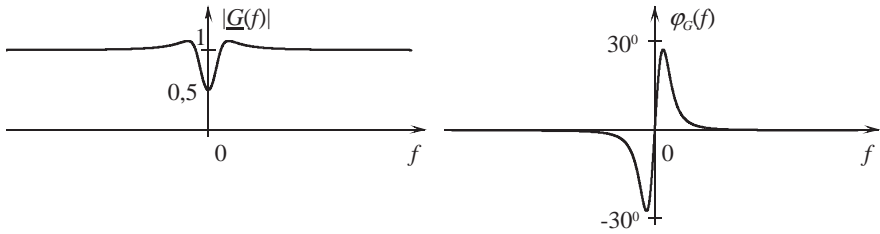
$$f) \underline{G}(f) = \frac{1 + j2\pi f(L/R + RC) - (2\pi f)^2 LC}{2 + j2\pi f(L/R + RC) - (2\pi f)^2 LC}$$

$$g) |\underline{G}(f)| = \sqrt{\frac{(1 - (2\pi f)^2 LC)^2 + (2\pi f(L/R + RC))^2}{(2 - (2\pi f)^2 LC)^2 + (2\pi f(L/R + RC))^2}}$$

$$\underline{G}(f) = \frac{1 + (1 - (2\pi f)^2 LC)^2 + (2\pi f)^2 \left( \left( \frac{L}{R} \right)^2 + LC + (RC)^2 \right) + j2\pi f \left( \frac{L}{R} + RC \right)}{(2 - (2\pi f)^2 LC)^2 + (2\pi f)^2 \left( \frac{L}{R} + RC \right)^2}$$

Da der Realteil des Frequenzgangs für alle Frequenzen positiv ist, lautet der Phasengang:

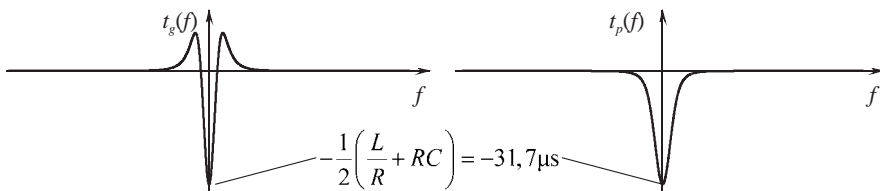
$$\varphi_G(f) = \arctan \left( \frac{2\pi f(L/R + RC)}{1 + (1 - (2\pi f)^2 LC)^2 + (2\pi f)^2 \left( (L/R)^2 + LC + (RC)^2 \right)} \right).$$



h) Gruppen- und Phasenlaufzeit

$$t_g(f) = \frac{\left(\frac{L}{R} + RC\right) \left(-2 - 2(2\pi f)^2 LC + 3((2\pi f)^2 LC)^2 + (2\pi f)^2 \left(\left(\frac{L}{R}\right)^2 + LC + (RC)^2\right)\right)}{\left(2\pi f \left(\frac{L}{R} + RC\right)\right)^2 + \left(1 + (1 - (2\pi f)^2 LC)^2 + (2\pi f)^2 \left(\left(\frac{L}{R}\right)^2 + LC + (RC)^2\right)\right)^2}$$

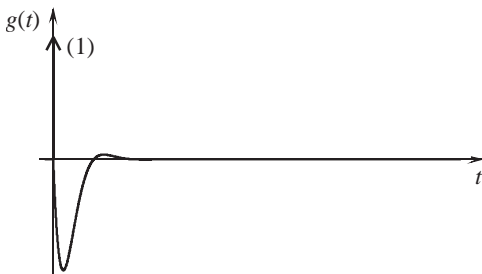
$$t_p(f) = -\frac{1}{2\pi f} \arctan \left( \frac{2\pi f (L/R + RC)}{1 + (1 - (2\pi f)^2 LC)^2 + (2\pi f)^2 \left(\left(\frac{L}{R}\right)^2 + LC + (RC)^2\right)} \right)$$



i) Impulsantwort

$$g(t) = \delta(t) + \frac{(p_{\infty 1} - p_{01})(p_{\infty 1} - p_{02})}{p_{\infty 1} - p_{\infty 2}} \varepsilon(t) e^{p_{\infty 1} t} - \frac{(p_{\infty 2} - p_{01})(p_{\infty 2} - p_{02})}{p_{\infty 1} - p_{\infty 2}} \varepsilon(t) e^{p_{\infty 2} t}$$

$$g(t) = \delta(t) - \varepsilon(t) \frac{1}{LC} \frac{e^{p_{\infty 1} t} - e^{p_{\infty 2} t}}{p_{\infty 1} - p_{\infty 2}} = \delta(t) - \varepsilon(t) \frac{e^{\operatorname{Re}\{p_{\infty 1}\} t}}{LC \cdot \operatorname{Im}\{p_{\infty 1}\}} \sin(\operatorname{Im}\{p_{\infty 1}\} t)$$



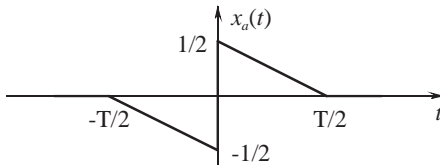
j) 
$$\underline{U}_a(f) = \frac{1V}{4} \delta(f) + \frac{1V}{j2\pi f} \cdot \frac{1 + j2\pi f (L/R + RC) - (2\pi f)^2 LC}{2 + j2\pi f (L/R + RC) - (2\pi f)^2 LC}$$

10. a) Nicht kausal da  $g(t)$  zum Zeitpunkt  $-T/2$  beginnt

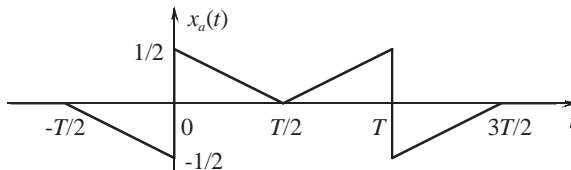
b) Stabil, da  $\int_{-\infty}^{\infty} |g(t)| dt = \int_{-\infty}^{-\infty} \delta(t) dt + \frac{1}{T} \int_{-T/2}^{T/2} \text{rect}\left(\frac{t}{T}\right) dt = 1 + 1 < \infty$

c)  $\underline{G}(f) = 1 - \text{si}(\pi f T)$

d)  $x_a(t) = \varepsilon(t) - \frac{1}{T} r(t + T/2) + \frac{1}{T} r(t - T/2)$



e)  $x_a(t) = \text{rect}\left(\frac{t - T/2}{T}\right) - \Lambda\left(\frac{t - T/2}{T}\right)$



11. a) Tiefpass, da Frequenzen größer  $3f_g$  unterdrückt

b) Der reelle und symmetrisch gerade Frequenzgang korrespondiert zu einer reellen und symmetrisch geraden Impulsantwort, die somit Anteile bei Zeiten  $t < 0$  enthält.  
 $\Rightarrow$  nicht kausal und somit nicht technisch realisierbar

c)  $\underline{G}(f) = 3\Lambda\left(\frac{f}{3f_g}\right) - 2\Lambda\left(\frac{f}{2f_g}\right)$

d)  $g(t) = 9f_g \text{si}^2(3\pi f_g t) - 4f_g \text{si}^2(2\pi f_g t)$

e)  $g(2t) = 9f_g \text{si}^2(6\pi f_g t) - 4f_g \text{si}^2(4\pi f_g t) \circ \bullet \frac{1}{2} \underline{G}\left(\frac{f}{2}\right) = \frac{3}{2} \Lambda\left(\frac{f}{6f_g}\right) - \Lambda\left(\frac{f}{4f_g}\right)$

12. a)  $X(p) = \frac{(p + \tau^{-1} + j2\pi f_0) + (p + \tau^{-1} - j2\pi f_0)}{2(p + \tau^{-1} - j2\pi f_0)(p + \tau^{-1} + j2\pi f_0)} = \frac{p + \tau^{-1}}{(p + \tau^{-1})^2 + (2\pi f_0)^2}$

b)  $\ddot{x}(t) \circ \bullet \frac{p^2(p + \tau^{-1})}{(p + \tau^{-1})^2 + (2\pi f_0)^2} - px(0) - \dot{x}(0), \quad x(0) = 1, \quad \dot{x}(0) = -\tau^{-1}$

$\ddot{x}(t) \circ \bullet \frac{p^2(p + \tau^{-1})}{(p + \tau^{-1})^2 + (2\pi f_0)^2} - p + \tau^{-1}$

c)  $x(t) \circ \bullet \underline{X}(f) = \frac{\tau^{-1} + j2\pi f}{(\tau^{-1} + j2\pi f)^2 + (2\pi f_0)^2}$

$\ddot{x}(t) \circ \bullet \underline{X}(f) = -(2\pi f)^2 \frac{\tau^{-1} + j2\pi f}{(\tau^{-1} + j2\pi f)^2 + (2\pi f_0)^2}$

**Lösungen zu den Kapiteln 14 bis 18**

13. a) nichtlinear, da  $e^{x_{e1}(kT_A)} + e^{x_{e2}(kT_A)} \neq e^{x_{e1}(kT_A) + x_{e2}(kT_A)}$

b) linear, da  $cx_{e1}((k-1)T_A) + cx_{e2}((k-1)T_A) = c(x_{e1}((k-1)T_A) + x_{e2}((k-1)T_A))$

14. a) zeitinvariant, da

$$x_a(kT_A) = x_e(kT_A) - x_e((k-1)T_A) \rightarrow$$

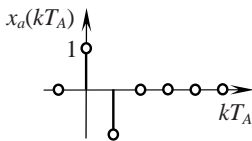
$$x_a((k-n)T_A) = x_e((k-n)T_A) - x_e((k-n-1)T_A)$$

b) zeitvariant, da

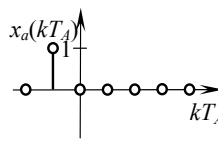
$$x_a(kT_A) = x_e(-kT_A) \rightarrow$$

$$x_a((k-n)T_A) = x_e(-(k-n)T_A) = x_e((n-k)T_A)$$

15. a) kausal



b) nichtkausal



16. a) System 1: Lösung der DZGL mit Ansatzverfahren

Da als Eingangssignal der Einheitsimpuls anliegt, ergibt sich für die eine der zwei benötigten Anfangsbedingungen  $x_a(0) = 1$ . Die zweite Anfangsbedingung  $x_a(-T_A) = 0$  resultiert aus der Tatsache, dass das System kausal ist. Da das vollständige Eingangssignal schon beim Festlegen der Anfangsbedingung berücksichtigt wird, ist eine partikuläre Lösung  $x_{api}(kT_A) = 0$ .

$$x_a(kT_A) = \frac{1}{\lambda_1 - \lambda_2} (\lambda_1^{k+1} - \lambda_2^{k+1}) \cdot \varepsilon(kT_A) \text{ mit } \lambda_{1,2} = -\frac{1}{2} \pm j\frac{\sqrt{3}}{2}$$

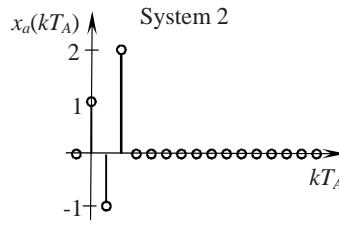
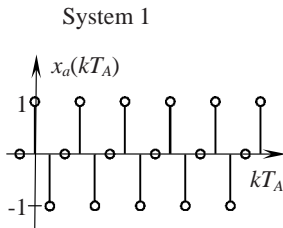
$$x_a(kT_A) = \frac{2}{\sqrt{3}} \sin\left(\frac{2}{3}\pi(k+1)\right) \cdot \varepsilon(kT_A)$$

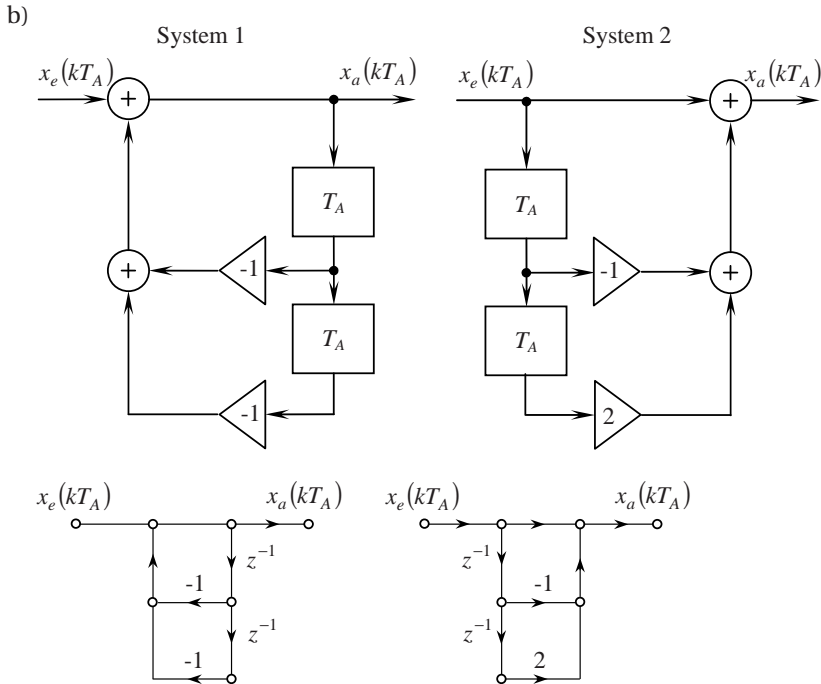
System 1: Lösung der DZGL mit Rekursionsverfahren

$$\{x_a(kT_A)\} = \{\underline{1}; -1; 0; 1; -1; 0; 1; -1; 0; \dots\}$$

System 2: Lösung der DZGL mit Rekursionsverfahren und Einsetzverfahren

$$\{x_a(kT_A)\} = \{\delta(kT_A)\} - \{\delta((k-1)T_A)\} + \{2\delta((k-2)T_A)\} = \{\underline{1}; -1; 2\}$$

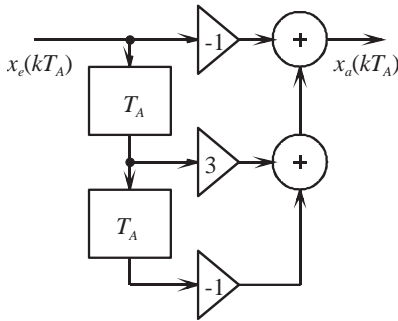




c) System 1:  $G(z) = \frac{1}{1 + z^{-1} + z^{-2}}$ ,  $z_{\infty 1,2} = -0,5 \pm j0,866 = 1 \cdot e^{\pm j120^\circ}$ ,  $z_{01,2} = 0$   
 Alle Polstellen liegen auf dem Einheitskreis, das System ist instabil.  
 System 2:  $G(z) = 1 - z^{-1} + 2z^{-2}$ ,  $z_{\infty 1,2} = 0$ ,  $z_{01,2} = -0,5 \pm j1,3229$   
 Alle Polstellen liegen im Einheitskreis, das System ist stabil.

17. a)  $x_a(kT_A) - a_1 x_a((k-1)T_A) = x_e(kT_A) + b_1 x_e((k-1)T_A)$ ,  $G(z) = \frac{1 + b_1 z^{-1}}{1 - a_1 z^{-1}}$   
 b)  $|a_1| < 1$  und  $b_1$  beliebig  
 c)  $\{g(kT_A)\} = \{\varepsilon(kT_A)\}$
18. a)  $\{x_e(kT_A)\} = \{1; 1; 1\}$   
 $= \{\delta(kT_A) + \delta((k-1)T_A) + \delta((k-1)T_A)\} \circ \bullet X_e(z) = 1 + z^{-1} + z^{-2}$   
 $\{x_a(kT_A)\} = \{0; 1; 0; -1\} = \{\delta((k-1)T_A) - \delta((k-3)T_A)\} \circ \bullet X_a(z) = z^{-1} - z^{-3}$   
 b)  $G(z) = \frac{z^{-1} - z^{-3}}{1 + z^{-1} + z^{-2}}$   
 c)  $x_a(kT_A) + x_a((k-1)T_A) + x_a((k-2)T_A) = x_e((k-1)T_A) - x_e((k-3)T_A)$
19. a)  $x_a(kT_A) + x_a((k-1)T_A) - x_a((k-2)T_A) = x_e((k-1)T_A)$   
 b)  $\{g(kT_A)\} = \{0; 1; -1; 2; -3; 5; -8; \dots\}$   
 c)  $G(z) = \frac{z^{-1}}{1 + z^{-1} - z^{-2}}$ ,  $z_{\infty 1} = -1,618$ ,  $z_{\infty 2} = 0,618$ ,  $z_{01} = 0$   
 Eine Polstelle liegt außerhalb des Einheitskreises, das System ist instabil.

20. a)  $x_a(kT_A) = -x_e(kT_A) + 3x_e((k-1)T_A) - x_e((k-2)T_A)$



b)  $\{x_a(kT_A)\} = \{-1; 2; 1; 1; 1; \dots\}$

c)  $\{x_a(kT_A)\} = \{-1; 2; 1; 1; 1; 2; -1; 0; 0; \dots\}$

d)  $\{x_a(kT_A)\} = \{-1; 2,5; 0; 0; 0; \dots\} + \{\varepsilon((k-2)T_A) 0,5^k\}$

e)  $X_a(z) = \frac{-z^2 + 3z - 1}{z^2} \cdot \frac{z}{z-1} = -\frac{z}{z-1} + 3z^{-1} \frac{z}{z-1} - z^{-2} \frac{z}{z-1}$  b)

•  $\{x_a(kT_A)\} = -\{\varepsilon(kT_A)\} + 3\{\varepsilon((k-1)T_A)\} - \{\varepsilon((k-2)T_A)\}$

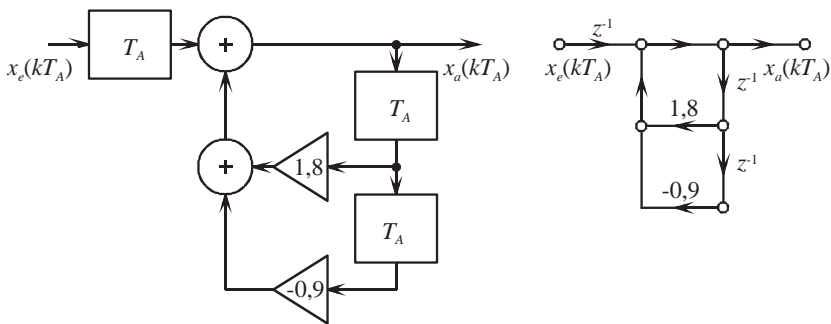
$X_a(z) = \frac{-z^2 + 3z - 1}{z^2} \cdot \frac{z}{z-1} (1 - z^{-5})$  c)

•  $\{x_a(kT_A)\} = -\{\text{rect}_5(kT_A)\} + 3\{\text{rect}_5((k-1)T_A)\} - \{\text{rect}_5((k-2)T_A)\}$

$X_a(z) = \frac{-z^2 + 3z - 1}{z^2} \cdot \frac{z}{z-0,5} = -\frac{z}{z-0,5} + 3z^{-1} \frac{z}{z-0,5} - z^{-2} \frac{z}{z-0,5}$  d)

•  $\{x_a(kT_A)\} = -\{\varepsilon(kT_A) 0,5^k\} + 3\{\varepsilon((k-1)T_A) 0,5^{k-1}\} - \{\varepsilon((k-2)T_A) 0,5^{k-2}\}$

21. a)



b)  $X_a(z) = \frac{z}{z^2 - 1,8z + 0,9} X_e(z)$

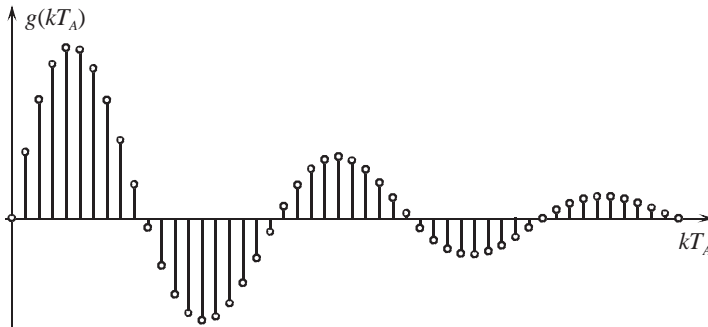
c)  $G(z) = \frac{z}{z^2 - 1,8z + 0,9}$

d)  $z_{\infty 1,2}^2 - 1,8z_{\infty 1,2} + 0,9 = 0 \Rightarrow z_{\infty 1,2} = 0,9 \pm \sqrt{0,9^2 - 0,9} = 0,9 \pm j0,3$

Stabil, da  $|z_{\infty 1,2}| < 1$

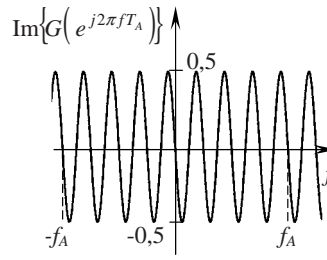
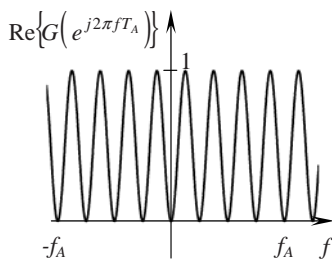
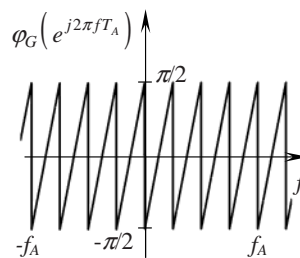
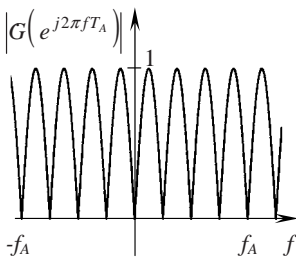


$$e) \{g(kT_A)\} = \left\{ \varepsilon((k-1)T_A) \frac{z_{\infty 1}^k - z_{\infty 2}^k}{z_{\infty 1} - z_{\infty 2}} \right\}$$



$$f) \{x_a(kT_A)\} = - \left\{ \varepsilon((k-1)T_A) \frac{z_{\infty 1}^k - z_{\infty 2}^k}{z_{\infty 1} - z_{\infty 2}} \right\} + 2 \left\{ \varepsilon((k-2)T_A) \frac{z_{\infty 1}^{k-1} - z_{\infty 2}^{k-1}}{z_{\infty 1} - z_{\infty 2}} \right\} - \left\{ \varepsilon((k-3)T_A) \frac{z_{\infty 1}^{k-2} - z_{\infty 2}^{k-2}}{z_{\infty 1} - z_{\infty 2}} \right\}$$

22. a)



b) Amplitudengang und Realteil des Frequenzgangs sind symmetrisch gerade Funktionen. Phasengang und Imaginärteil des Frequenzgangs sind symmetrisch ungerade Funktionen.

23. a)  $X_e \left( e^{j2\pi f/f_A} \right) = 1 + e^{-j2\pi f/f_A} + e^{-j4\pi f/f_A} + e^{-j6\pi f/f_A}$

b)  $X_a \left( e^{j2\pi f/f_A} \right) = 0,5 \left( 1 + 2e^{-j2\pi f/f_A} + 2e^{-j4\pi f/f_A} + 2e^{-j6\pi f/f_A} + e^{-j8\pi f/f_A} \right)$

$X_a \left( e^{j2\pi f/f_A} \right) = \left( 0,5 \cdot e^{j4\pi f/f_A} + e^{j2\pi f/f_A} + 1 + e^{-j2\pi f/f_A} + 0,5 \cdot e^{-j4\pi f/f_A} \right) e^{-j4\pi f/f_A}$

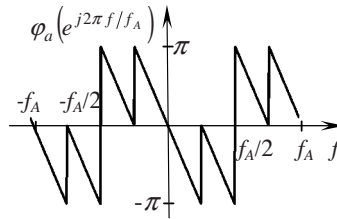
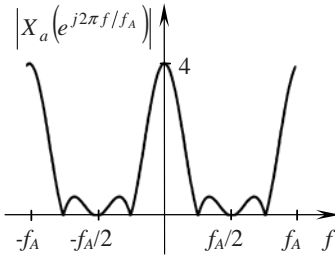
$X_a \left( e^{j2\pi f/f_A} \right) = \left( 1 + \cos \left( 4\pi f/f_A \right) + 2 \cos \left( 2\pi f/f_A \right) \right) e^{-j4\pi f/f_A}$

c) Amplitudenspektrum des Ausgangssignals

$\left| X_a \left( e^{j2\pi f/f_A} \right) \right| = \left| 1 + \cos \left( 4\pi f/f_A \right) + 2 \cos \left( 2\pi f/f_A \right) \right|$

Phasenspektrum des Ausgangssignals

$\varphi_a \left( e^{j2\pi f/f_A} \right) = \begin{cases} -4\pi f/f_A & \text{für } 1 + \cos \left( 4\pi f/f_A \right) + 2 \cos \left( 2\pi f/f_A \right) \geq 0 \\ -4\pi f/f_A \pm \pi & \text{für } 1 + \cos \left( 4\pi f/f_A \right) + 2 \cos \left( 2\pi f/f_A \right) < 0 \end{cases}$



d) IDTFT  $\left\{ X_a \left( e^{j2\pi f/f_A} \right) \right\} = x_a \left( kT_A \right) = \frac{1}{f_A} \int_{-f_A/2}^{f_A/2} X_a \left( e^{j2\pi f/f_A} \right) e^{jk2\pi f/f_A} df$

$\left\{ x_a \left( kT_A \right) \right\} = \{ 1; 2; 2; 2; 1 \}$